

용융아연(熔融亞鉛) 도금공정(鍍金工程)에서 아연부착량(亞鉛附着量)에 관한 연구

* 金 完 哲 ** 姜 聖 君 *** 南 勝 義

A Study of Zn-coating Weight in Hot-dip
Galvanizing Process.

Wan Chul, Kim
Sung Kun, Kang
Seung Eui, Nam

Abstract

This experiment intends to study Zn-coating weight through galvanizing process. A thorough examination has been carried out on the change of steel-composition, galvanizing-temperature, dipping-time, Fe-loss when other factors were regular. Activation energy needed for Fe-loss was obtained and within this sample, the best condition which has influence on coating weight was found so as to reduce Fe-loss.

As Fe-loss was diminished, the amount of product of Dross and Zn-using amount per total products could be reduced.

The results of experiments are as follows.

1. Zn-coating thickness was increased by the rising Zn-bath temperature and was the maximum at 8-minutes dipping time.

2. The coating weight was greatly influency by Si. As in other samples, the proportion of increasing was very rare after 20minutes. If the dipping time prolonged, the increasing amounts of Fe-loss are more greatly.

3. Activation Energy needed for Fe-loss was as follows

Such numerical values were most equal to those of the activation energy which had influences on the growth of γ -phase.

Sample - I = 18,500 Cal/mole

Sample - III = 22,000 Cal/mole

Sample - V = 42,300 Cal/mole

* 홍익 공업전문학교 금속과 조교수

** " " "

*** " " "

抄 錄

本実験에서는 熔融亜鉛鍍金工程에서 다른 諸要因을 一定하게 하고 鋼材成分 및 鍍金溫度와 浸積時間에 따른 亜鉛附着量과 鐵損失을 組織學的인 면에서 考察하였다. 鐵損失에 要하는 活性化에너지를 구하였으며 試料範圍内에서 附着量에 미치는 최적조건을 찾으므로서 不當한 鐵損失을 막고 亜鉛原單位를 줄이는데 目的이 있다.

鐵損失量과 드로스 (Dross) 발생량이 상호 密接한 関係에 있으며 도로스 발생량이 감소되면 亜鉛原單位가 감소되었다.

實驗結論은 다음과 같다.

1. 同一時間内에서 試片-I은 470°C까지 도금층 두께 형성이 온도에 비례하여 浸積時間 8分 정도에서 最大값을 나타낸다.

2. 試片-5는 浸積時間에 比例해서 附着量이 급증함을 나타내었는데 이는 Si의 영향이 지배적이며 그 이외의 試料에서는 20分 이후 附着量增加率이 극히 적었다. 浸積時間은 20분이 가장 적당하며 더 이상 오래 浸積시키면, 鐵損失量만 증가할 것이다.

3. 鐵損失에 要하는 活性化에너지는 다음과 같으며 이와같은 값은 γ相의 成長에 미치는活性화에너지 값과 거의 비슷하리라 생각됨.

試片-I : 18,500 Cal/mole

試片-III : 22,000 Cal/mole

試片-V : 42,300 Cal/mole

1. 緒 言

溶融鍍金은 溶融金屬중에 被處理物을 침지하여 적당시간 保持後 꺼내어 附着된 溶融金屬을 응고시켜서 金屬被服을 실시하는 方法이다.

溶金中에서는 固體피처리물과 溶金이 固相一液相反應을 일으켜 界面에 合金層을 形成한다. 被處理物을 꺼낼 때 粘性에 의해서合金層과 함께 溶融金屬이 被處理物表面에 附着되어 冷却時に 이것들이 응고되어 鍍金層이 形成된다.

鉄鋼을 大氣中에서 長時間 腐蝕으로부터

보호하려면 現在로는 亜鉛을 熔融鍍金하는 것이 가장 經濟的이고 有効한 方法으로 제시되고 있다.

鉄鋼素材에 용융아연도금을 하면 아연자신의 耐蝕性과 局部的으로 素材가 노출했을 때 아연자신이 부식하면서 鉄鋼素地의 부식을 防止해 주는 역할을 하기 때문이다.

따라서 熔融亜鉛鍍金은 冷間圧延강철박판, 鋼線, 鋼管, 管이음쇠, 기타 送電線塔 등의 大形構造物, 可銀鑄鐵에 이르기 까지 각종 製品에 도금을 행하고 있다.

本稿는 용융아연도금공정에서 原单位에 가장 큰 占有度를 차지하는 項目인 亜鉛附着量에 関하여 研究検討하였다.

亜鉛附着量에 영향을 주는 要因을 大別하면 피처리鋼材의 化学조성, 前處理条件, Flux 처리, 鍍金槽의 溫度, 浸積時間, Dross 発生量등을 들 수 있다.

鋼材의 化学成分이 鍍金波模두께에 미치는 영향은 鋼材中의 C, Si, Mn, P, S, 어느 것이나 그 함유량이 많아짐에 따라서 Fe-Zn合金層形成이 促進되며, 특히 鋼材中의 Si 함량이 Fe-Zn 상호반응 속도에 큰 영향을 준다고 알려져 있다.¹⁾

前處理과정에서는 酸洗工程이 重要하며 酸洗处理는 황산용액을 가열하여 使用하는 경우와 염산용액을 사용하는 경우 두가지 방법이 있다.

염산은 常温에서 작업할 수 있고 水素吸收가 적으며, 酸洗後 表面에 남은 鐵염이 염화물이기 때문에 용해도가 커서 제거하기 쉬운 장점이 있는 반면 황산은 값이 싸고 完全히 遊離酸을 利用할 수 있는 利点이 있다.

또한 황산을 利用할 경우 加熱을 하여야 하고 素地의 浸蝕이 크며 스마트 생성이 많다는 不利한 점도 있다.

그러나 生產工場에서는 經濟的인 측면에서 황산을 使用하는 경우가 많으므로 實際 조업에 참고가 될 수 있도록 본실험에서는

황산용액을 採하였다.

鍍金槽의 온도는 용융아연의 유동성 및 浴表面에 酸化피막形成 등에 영향을 미치므로 亜鉛附着量과 密接한 関係가 있다.

또한 浴中の 浸積이 길어짐에 따라서 도금附着量이 증가할 것이며, 그 증가상태는 鋼種에 따라 심한 차이가 있을 것이다.

鐵損失面에서도 상대적인 관계를 나타낼 것으로 예상되므로 本實驗에서는 鋼種, 도금조온도, 침적시간에 따른 亜鉛附着量을 측정하고 철침식에 요하는 活性化 에너지를 求하였다.

2. 實驗方法

實驗에 使用한 試片은 化学成分은 表-1과 같다.

試片의 크기는 세로 300 mm × 가로 100 mm × 두께 10 mm이고 中央상단에 침적을 원활히 하기 위하여 직경 2 mm의 작은 구멍을 뚫고 철사로 손잡이를 만들었다.

아연용해에는 鍍液도가니를 使用하였고 가열은 전기저항로에서 실시하였다.

本實驗에서 실시한 熔融鍍金工程은 다음과 같다.

脫脂 → 水洗 → 酸洗 → 水洗 → 乾燥 → 鍍金前試片重量測定 → Flux 처리 → 乾燥 → 용융아연 도금 → 乾燥 → 附着量試驗

<表 1>

試片의 化学成分 및 크기

시편 표시기호	化 学 成 分					시편크기(mm)	두께(%)
	C	Si	Mn	P	S		
S - I	0.11	tr	0.40	0.01	0.01	300 × 200	10
S - II	0.12	0.02	0.05	0.05	0.018	"	"
S - III	0.11	0.10	0.40	0.005	0.01	"	"
S - IV	0.11	0.02	0.05	0.005	0.015	"	"
S - V	0.11	0.20	0.42	0.005	0.01	"	"

2.1 前處理方法

脫脂는 규산소다 4% + 수산화나트륨 17%
混合용액을 가열하여 5分間 浸漬하였다.

酸洗는 10%의 황산용액을 50℃로 가열
하여 5分間 浸漬하였다.

이때 산세효과를 높이기 위하여 試片을
흔들어 주었다.

후렉스(Flux)용액은 表 2에 나타낸 바와
같이 1 : 1 염화아연 - 염화암모늄 수용액이며
浸漬時間은 1分間이었다.

2.2 溶融鍍金実験

용융도금 실험은 試片을 表 1에 表示한

化学成分에 따라 5種으로 区分하여 亜鉛의
온도를 變更시키면서, 온도와 附着量의
관계를 檢討하고 (침적시간은 일정하게 유지
함) 다음에는 아연의 온도를 일정하게
유지하고 침적시간의 영향을 考察하였다.

附着量試驗은 KSD0201 重量差에 의한 박
판류 시험방법을 择하였고 附着量單位는
g/mm²로 표시하였다.

表 2는 실험내용을 요약한 것이다.

<表 2>

溶融亜鉛鍍金工程

處理工程	사용시약	濃度	溫度	浸漬時間	備考
1. 脫脂	오르로규산소다 수산화나트륨	4 % 17 %	비 등수 "	5 min "	混合液
2. 酸洗	황산	10 %	50℃	5 min	
3. Flux 处理	염화아연 염화암모늄	45 %	50℃	1 min	염화아연 : 염화암모늄 = 1 : 1
4. 용융아연도금	아연	99.1 %	425℃부터 變更	變更	0.9%는 Pb, Fe Cd 등임

3. 実験結果 및 考察

3-1 침적시간에 따른 附着量變化

Fig.1은 鎌金槽의 온도를 440°C 로 유지시키고 얻은 附着量과 침적시간과의 관계를 図示한 것이다.

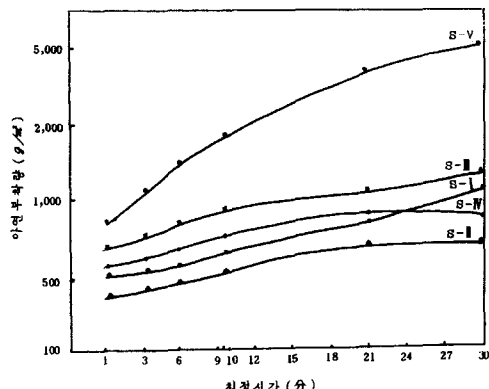


Fig.1 용용 아연도금 부착량과 침적시간과의 관계

同一鋼種에 있어서 용용아연도금욕중에 침적시간에 따라 附着量이 增加한다는 사실은 잘 알려져 있으며^{2~10)} 本 実験結果에서도 이러한 경향을 나타내고 있다.

附着量의 增加狀態는 Fig.1에 나타난 바와 같이 곡선 S-I, S-III는 浸積時間에 거의 比例하며 또한 곡선 S-II, S-IV는 도금시간이 20分이상 경과하면 附着量增加에 현저한 變化없이 일정량을 유지함을 보여 주고 있다.

따라서 鎌金槽에서長時間 鎌金製品을 정체시키는 것은 鐵損失量만 증가하며 드로스 발생량만 증가시키는結果를 초래할 것으로 생각된다.

곡선 S-V는 鋼材의 成分中 Si가 附着量을 증가시킨다는 것을 나타내고 있다.

Si 함유량이 많은 試片에서 나타나는 附

着量의 현격한 증가현상은 Fe-Zn合金形成反應이 他원소의 영향을 받아 促進됨을 알려 주고 있다.^{7~8)}

Fig.1에서 나타난 바와 같이 침적시간이 길어지면 아연附着量이 증가하며 특히 試片 S-V는 Si 량이 많으므로 해서 附着量이 급격히 증가함을 나타내고 있다.

鎌金層두께는 一定溫度에서 침적시간에 따라 鐵과 아연이 反應해서 생긴 合金層과 그 위에 亞鉛이 附着한 亞鉛層으로 구성되어 있으므로 α 층이 나타나는 깊이까지를 도금층 두께로 생각할 수 있다.

그러므로 조직검사 및 경도측정방법등에 의해서도 도금층을 구별할 수 있을 것이다.

本 実験에서 도금층두께는 조직검사에 의해서 측정하였다.

또한 亞鉛附着量과 도금층두께는 比例하므로 Fig.2에서 보는 바와 같이 鎌金槽의 온도가 높아짐에 따라 도금층두께가 增加함을 알 수가 있다.

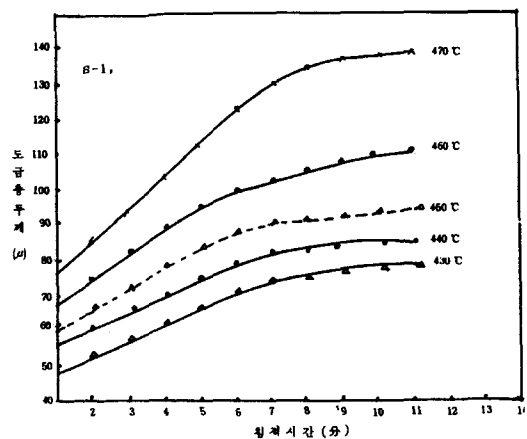


Fig.2 용용도금 부착량의 침적시간 및 도금조 온도의 영향
浸積時間이 10分이상 경과하면 附着量增加는 현저한 變化가 없었다.

따라서長時間浸漬하는 것은 鐵損失量만 증가하여 드로스 발생의 원인이 되므로 실제 生產工場에서操業할 때長時間 침적시키는 것은 지양되어야 할 것이다.

또한短時間 동안에微小附着量이 되는原因是 Fig. 3에서 보는 바와 같이 鐵과 亞鉛과는各各 다른 고용域을 가진 4개의 金屬間化合物를 만든다.

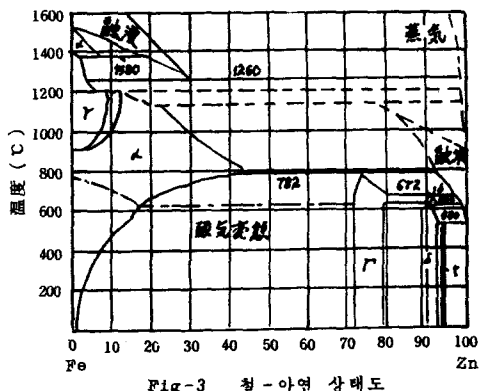
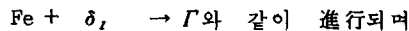
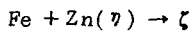


Fig. 3 철-아연 상태도

보통鎌金層은 \$\alpha\$相에接한 곳에 鐵과同一한 体心立方格子(bcc)의 \$\Gamma\$ (\$Fe_{1-x}Zn_{x/2}\$)가 있고 그 위에六方晶의 \$\delta_1\$ (\$FeZn_x\$), 또한 그上層에單斜晶의 \$\zeta\$ (제타)와六方晶의 \$\eta\$ (이타)가重複되어 있다.

亞鉛鎌金의合金層形成反應은



\$\Gamma\$가 \$\alpha\$로 되는 것은 鐵中에 亞鉛이拡散하기 때문이다.

그러므로鎌金層두께는 \$\delta_1\$層의成長과 \$\eta\$層의附着程度에 따라 영향을 받을 것이므로짧은 시간동안微小附着量은 \$\eta\$層의附着量이 적기 때문이다.

合金層인 \$\Gamma\$, \$\delta_1\$層과純亞鉛層인 \$\eta\$層의附着狀態는各溫度마다짧은 침적시간의경우에合金層의發達이적고도금층전체에미치는영향이비교적커진다.

浸漬時間이길어지면合金層發達이현저하게된다.

\$\eta\$층이도금층全體에미치는영향력이적어지는것은時間에따라各相의組織検査를시행하므로 알수가있다.

이러한合金層과\$\eta\$층의相關關係로10분까지는계속도금층증가율이컸으나그이상의시간에서는증가율이현저하게커지지않는것으로思料된다.

용융아연도금에서鎌金皮膜의組織과鎌金速度或은浸漬速度를決定하는要因으로浴의온도는대단히重要한것이다.

Fig. 2에서알수있는바와같이 \$430^{\circ}\text{C} \sim 460^{\circ}\text{C}\$까지의온도에서附着量增加速度가거의비슷한것은上記온도에서변태反應이없는\$\Gamma\$와\$\delta_1\$相이아연規定度(\$N_{Zn}\$)에의한活量에따라形成될것이다\$\zeta+\eta\$相은冷却時\$419.5^{\circ}\text{C}\$에서包晶反應에의하여形成되고거의같은活量을가지고있으므로⁶⁾附着量에현저한차이가없는것으로고려된다.

亞鉛에의한鐵의침식및鐵과亞鉛間의反應進行度는두가지方法⁵⁾에의해서測定할수있는데本實驗에서는鐵이亞鉛과金屬間化合物를만들기때문에反應한鐵의量은實驗前試片과鎌金피막을제거한試片間의重量差에의하여測定하였다.

$$\text{이와같은實驗結果는 } W = \frac{d \cdot \zeta \cdot \text{Fe重質量}}{100}$$

(d = 도금층 두께, ζ = 密度, W = 鐵損失量) 式⁶⁾
과 잘 부합됨을 알 수가 있다.

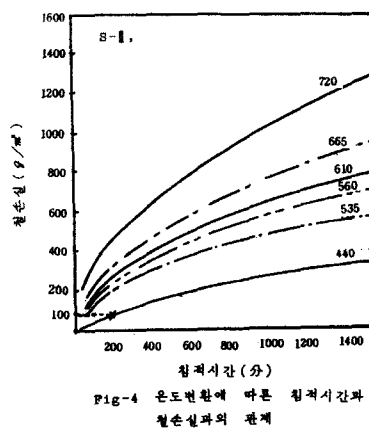


Fig. 4 온도변환에 따른 침적시간과
철손실과의 관계

Fig. 4는 温度變化에 따른 浸積時間과
鐵損失과의 關係를 나타낸 것으로, Burke
의 式¹¹⁾ $R = a \cdot t^b$ 와 잘 일치되며 이 式
에서의 R 은 鐵損失量, t = 浸積時間, a 와
 b 는 定數로 表示되고 있다.

이 두 常數는 純鐵과 純亞鉛 사이에서
일어날 경우에는 温度에만 依存하는 定數
이다. 現在까지 実驗結果에서 천이현상이
서서히 일어나는가 或은 급히 일어나는가
에 대해서는 確實치 않다.^{2~6)}

그러나 이러한 현상이 서서히 일어난다면 그것은 극히 좁은 범위내에서 일어나지 않으면 안되므로, 급격히 일어나는 것으로 생각된다.

480 ~ 490 °C 및 520 ~ 530 °C의 두점
이 영역에서는 속도정수가 직선으로 나타
난다고 한다.^{2~6)}

고로 実驗에서 이와같은 천이온도外 범
위에서 観察하였다.

鍍金中 鐵의 용해량은 도금피 막두께와
密接한 關係가 있음은 잘 알려진 사실이

고, 도금피막 두께가 침적시간에 比例하여 증
가하는 것은 亞鉛中에 拡散된 鐵이 鍍金피
막중의 鐵-亞鉛 合金層으로 되어 大部分이
存在하고 一部는 용용아연을 속으로 들어감
을 알 수가 있다.

그러므로 Fig. 1과 Fig. 4의 S-II 試片
에서 20分이후의 附着量의 增加率은 극히
미소하므로 長時間 침적시켜도 附着量은 별
變化가 없을 것이다.

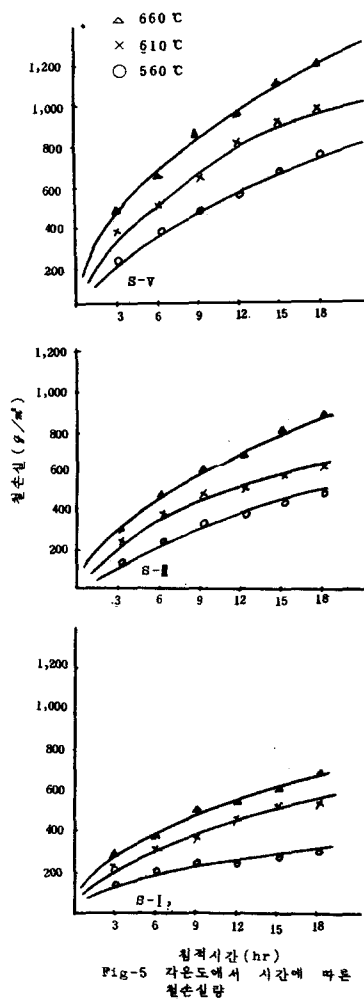
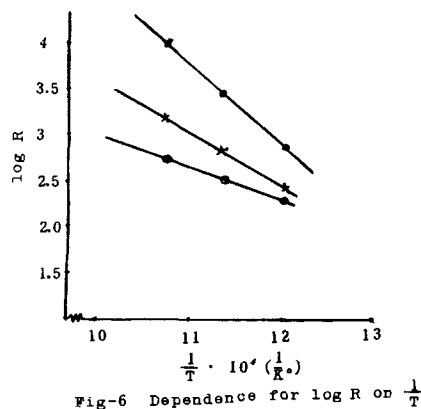


Fig. 5 각온도에서 시간에 따른
철손실량



鐵浸蝕速度에 要하는 活性化에너지 를 求하기 위하여 Fig.5의 결과를 Burke式¹¹⁾에 代入하고 浸蝕速度를 $R = A \cdot e^{-\frac{Q}{RT}}$ 또는 $\log R = \log A - \frac{Q}{2.303R} \cdot \frac{1}{T}$ 에 代入하여 $\log R$ 와 $\frac{1}{T}$ 의 関係를 図示하면 Fig.6 와 같다.

여기에서 求한 活性化에너지 값은 다음과 같다.

$$S - I = 18,500 \text{ Cal/mole}$$

$$S - II = 22,000 \text{ Cal/mole}$$

$$S - III = 42,300 \text{ Cal/mole}$$

이 값들은 化學反応 및 拡散과정에 있어서 통상 얻어지는 범위내에 있다.

Zn의 자기확산 (self-diffusion)에 要하는 활성화에너지값⁷⁾을 고려해 보면 γ 相의 成長에 미치는 活性化에너지 값을 구할 경우에도 鐵損失에서 계산한 값과 별 차이가 없으리라고 思料된다.

4. 結論

本 試片 범위내에서 鎌金溫度와 浸積時間에 따른 附着量과 鐵損失에 要하는 活性化에너지 를 다음과 같다.

1. 同一時間에서 試片 - I 은 溶溫 470°C 까지의 鎌金層두께는 温度에 比例하여 浸積時間 8分 정도에서 最大를 나타낸다.

2. 試片 - V 가 浸積時間에 比例해서 附着量이 急增함은 Si 영향이 지배적이며 그 이외의 試料에서는 20分이후의 附着量 增加率이 극히 적으므로 浸積時間은 20分정도가 適당하다.

長時間 浸積하면 鐵損失量만 增大할 것이다.

3. 鐵損失에 要하는 活性化에너지 는 다음과 같으며 이와같은 값은 γ -相의 成長에 미치는 活性化에너지 값과 거의 비슷하리라 생각됨.

$$S - I : 18,500 \text{ Cal/mole}$$

$$S - III : 22,000 \text{ Cal/mole}$$

$$S - V : 42,300 \text{ Cal/mole}$$

後記

本研究는 1977年度 文教部 學術研究 조성비에 의해 이루워졌으며 本實驗에協助하여 주신 여러분들에게 감사를 드립니다.

参考文献

- 杉浦文雄：金屬表面技術 7 (1967) 222~224
- VICKERS.R : Materials Protect 1 (1962) 30~39.
- VICKERS.R : Metal Finishing 7 (1961) 455~461.
- 杉浦文雄, 黒川正彦：金屬長面技術 6 (1967) 221.
- HORSTMANN,D : Stahl u Eisen 81 (1961) 1689~1691

-
6. HORSTMANN,D, & F.K.Peters : 鉛과
亜鉛 38(1970) 44~71.
7. P.D.Adams,H.A. Pavies : The Pro-
perties of Liquid Metals, Naht-
rieg (1967) 309.
8. 伊佐重輝 : 金属表面技術 182(1969) 2~6.
9. 徳永淳 : 鉛과 亜鉛 4(1967) 14~19.
10. 杉浦文雄, 黒川正彦, 岡忠昭, 三木佐一 :
金属表面技術 18 (1967) 221~225.
11. J.Burke & W.S.Owen : JISI 176 :
12(1954) 147